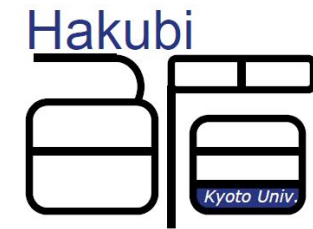


# 高赤方偏移活動銀河核の 広帯域近赤外分光観測

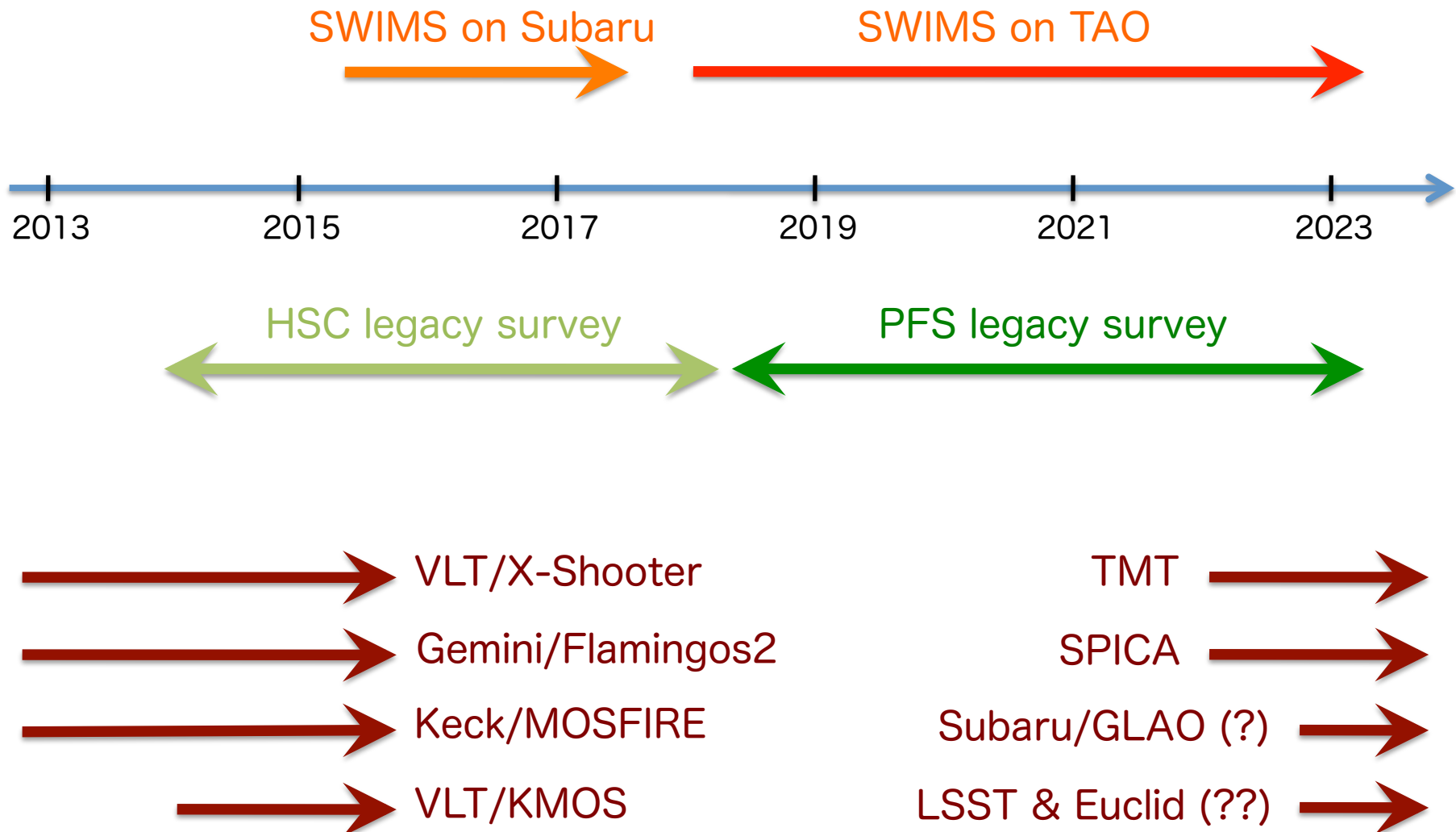
長尾 透

京都大学白眉プロジェクト

*05 August 2013, IoA, Univ. of Tokyo  
TAO/SWIMS Science Workshop 2013*



# SWIMS: timeline



# SWIMS: AGN science cases

## (1) Assessing spectra of HSC quasars at $z>6$

- ~ unknown redshift ← wide  $\lambda$ -coverage necessary
- ~  $M_{BH}$  through MgII ← PFS does not work at  $z>4$
- ~ Imanishi-san's talk...はキャンセルになったんですか？

## (2) FeII/MgII → Fe/Mg → Forming epochs of AGNs

- ~ broad feature ← wide  $\lambda$ -coverage necessary
- ~ continuous feature ← good atmos. transmission
- ~ Sameshima-san's talk

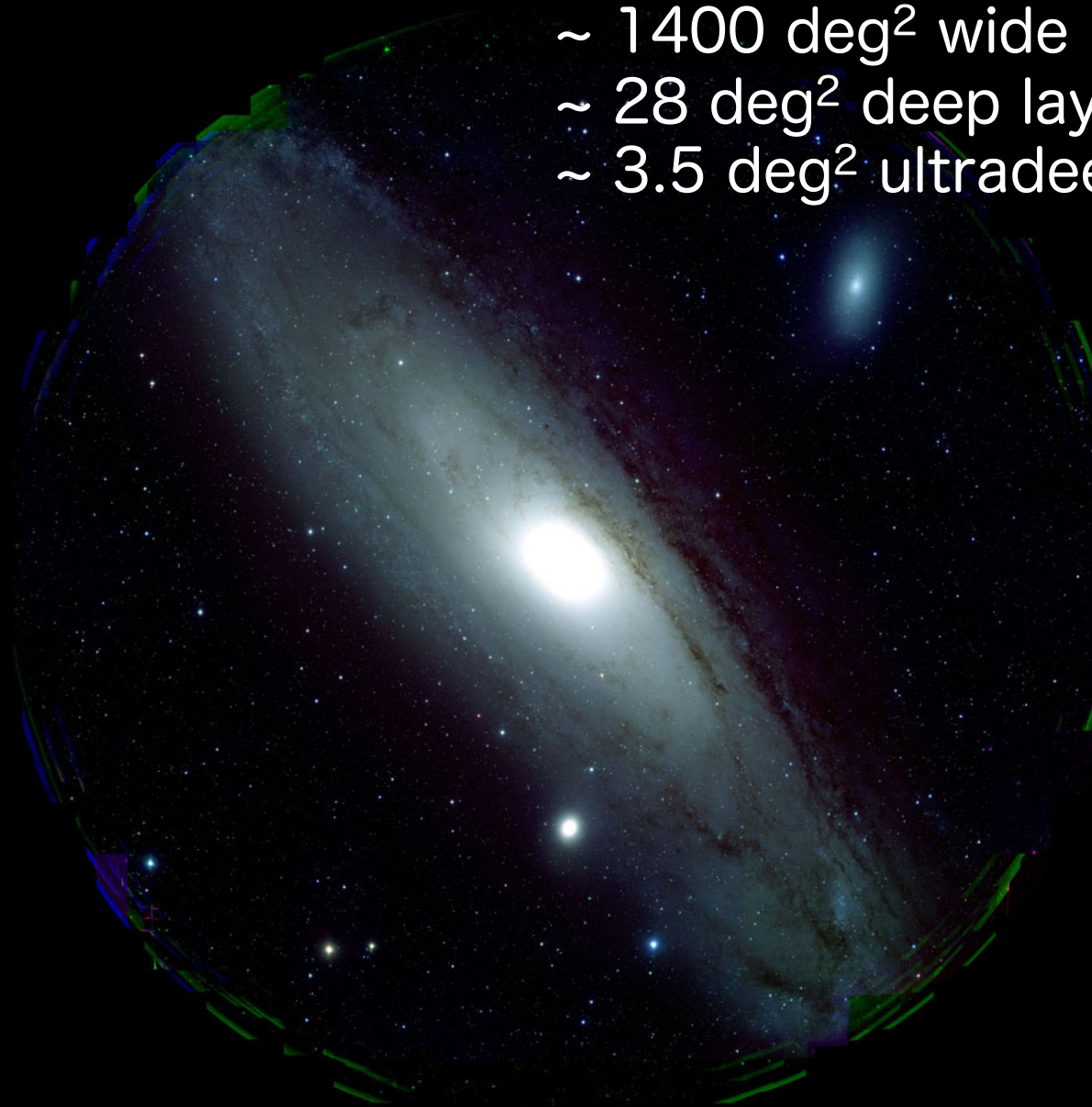
## (3) Others?

- ~ anything that requires a wide  $\lambda$ -coverage?
- ~ e.g., multi lines from narrow-line regions (NLRs)
- ~ (Nagao Ph.D. Thesis)

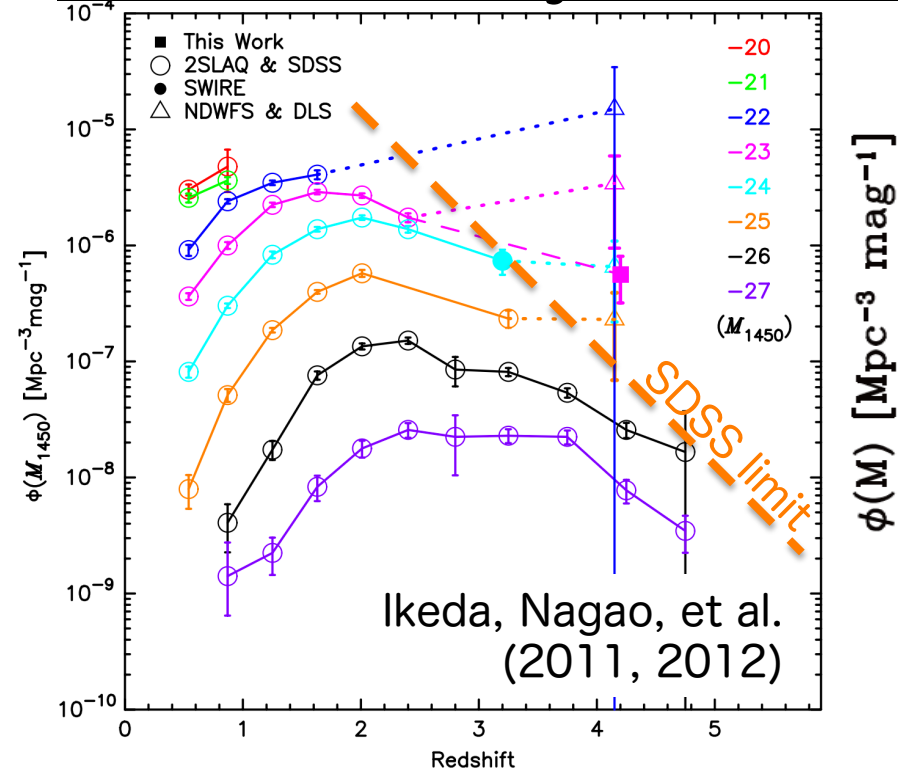
HSC has come!!

HSC SSP survey will start soon!

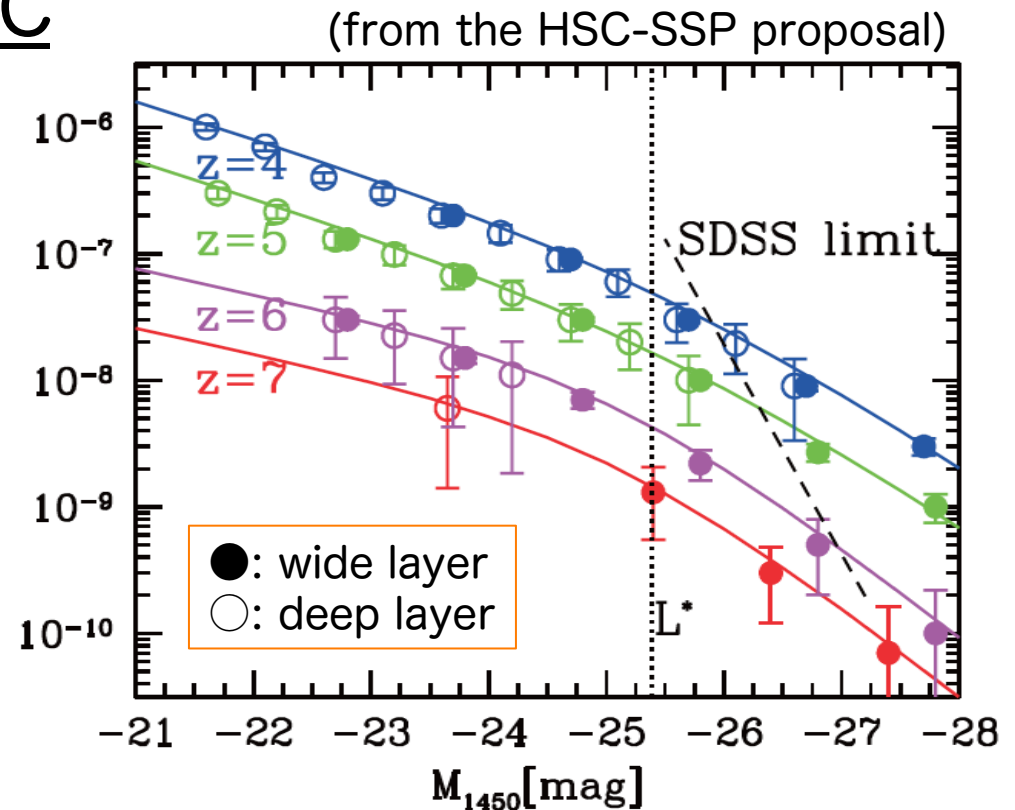
- ~ 1400 deg<sup>2</sup> wide layer
- ~ 28 deg<sup>2</sup> deep layer
- ~ 3.5 deg<sup>2</sup> ultradeep layer



# Quasar survey with HSC



- ~ so-called “downsizing” of AGNs
- ~ controversial for high-z low-L AGNs
- ~ deeper & wider AGN survey needed
  
- ~ HSC-AGN survey (SWANS)  
chairs: T. Nagao & M. Strauss  
>30 people involved (incl. students)



- ~ >100  $z \sim 6$  QSOs & >10  $z \sim 7$  QSOs
- ~ spectroscopic ID required
- ~ NIR spec needed for secure  $M_{BH}$   
(for measuring the MgII profile)
- ~ only up to  $z \sim 3.5$  for PFS
- ~ systematic follow-up w/SWIMS !!  
(without suffering from atom.abs.)

# SWIMS: AGN science cases

## (1) Assessing spectra of HSC quasars at $z>6$

- ~ unknown redshift ← wide  $\lambda$ -coverage necessary
- ~  $M_{BH}$  through MgII ← PFS does not work at  $z>4$
- ~ Imanishi-san's talk...はキャンセルになったんですか？

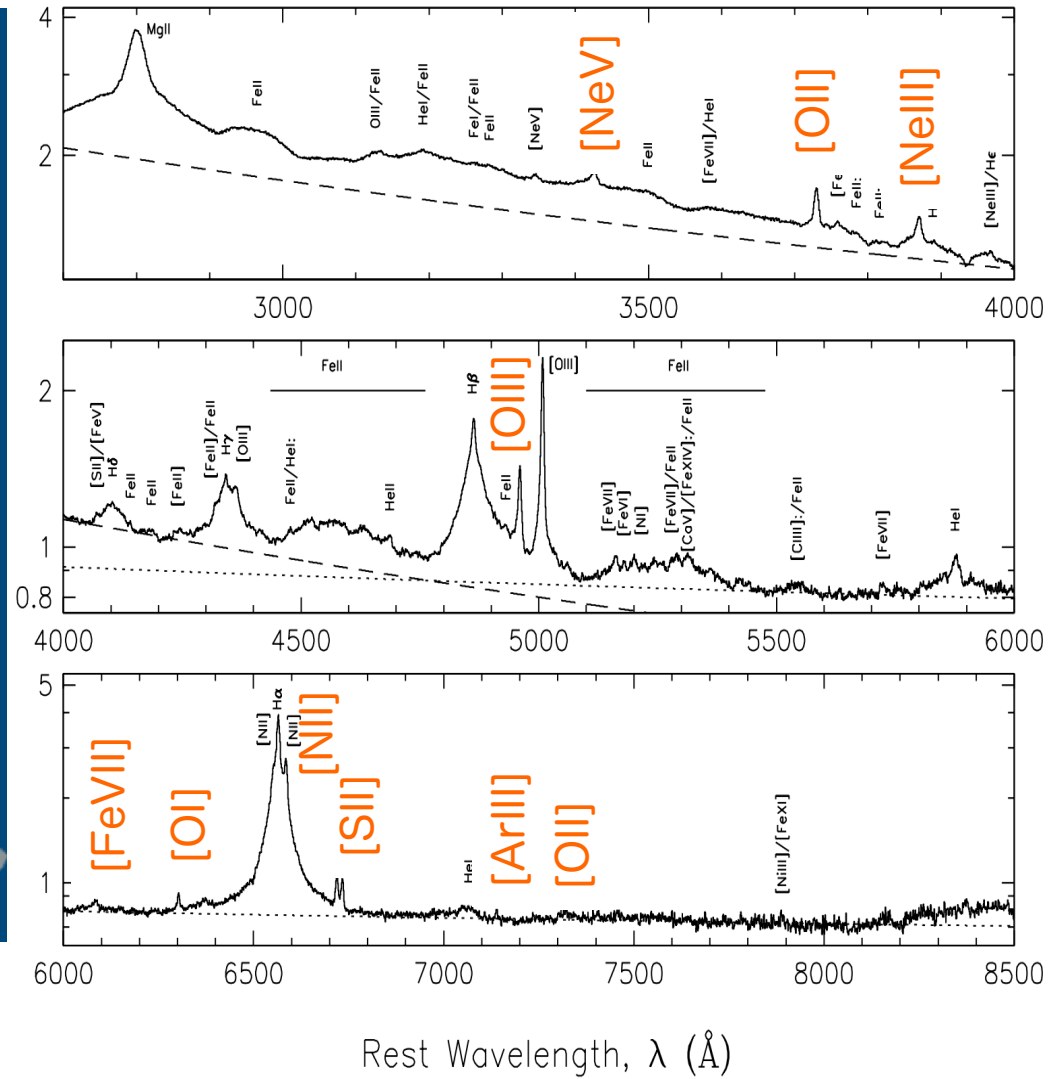
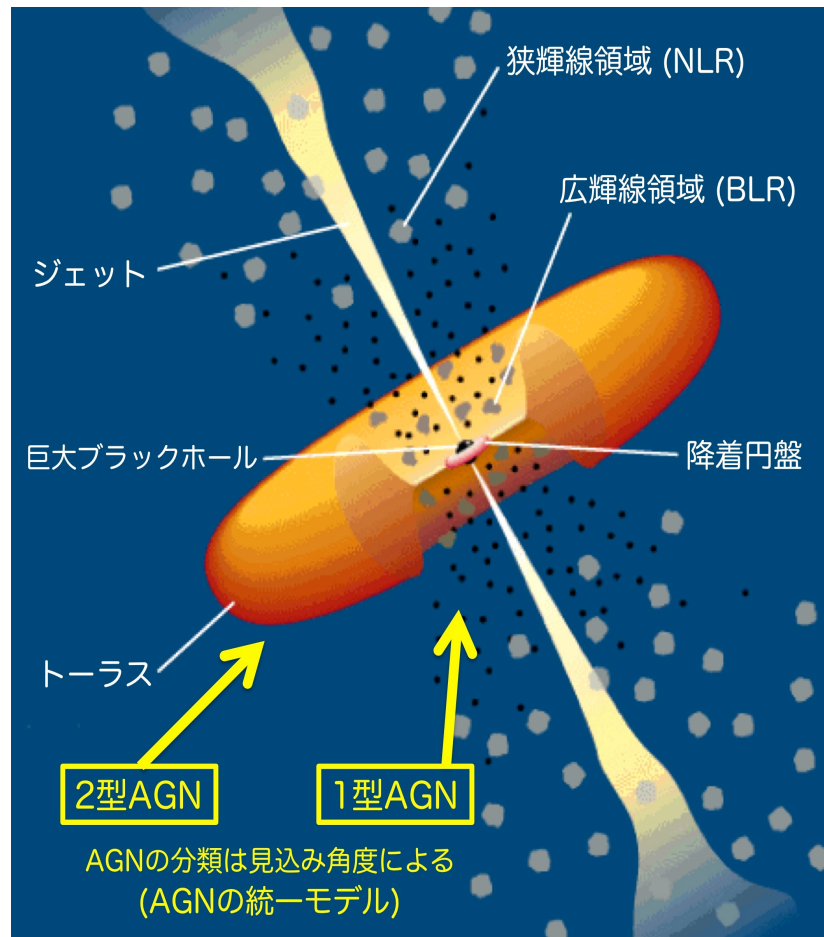
## (2) FeII/MgII → Fe/Mg → Forming epochs of AGNs

- ~ broad feature ← wide  $\lambda$ -coverage necessary
- ~ continuous feature ← good atmos. transmission
- ~ Sameshima-san's talk

## (3) Others?

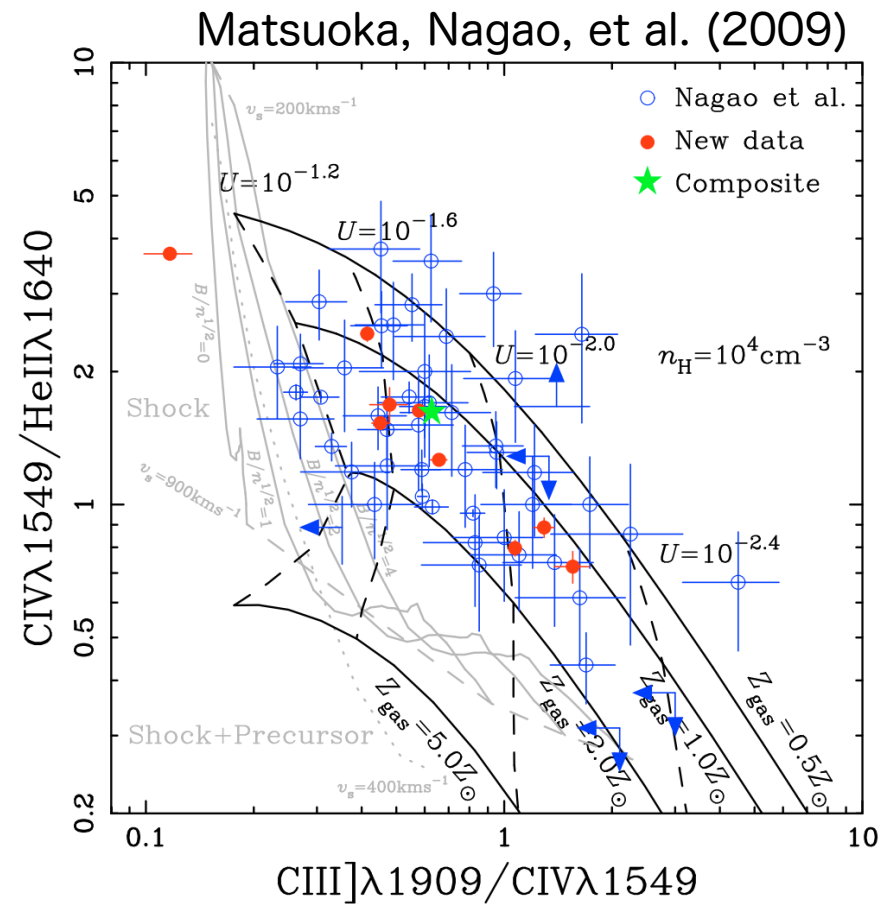
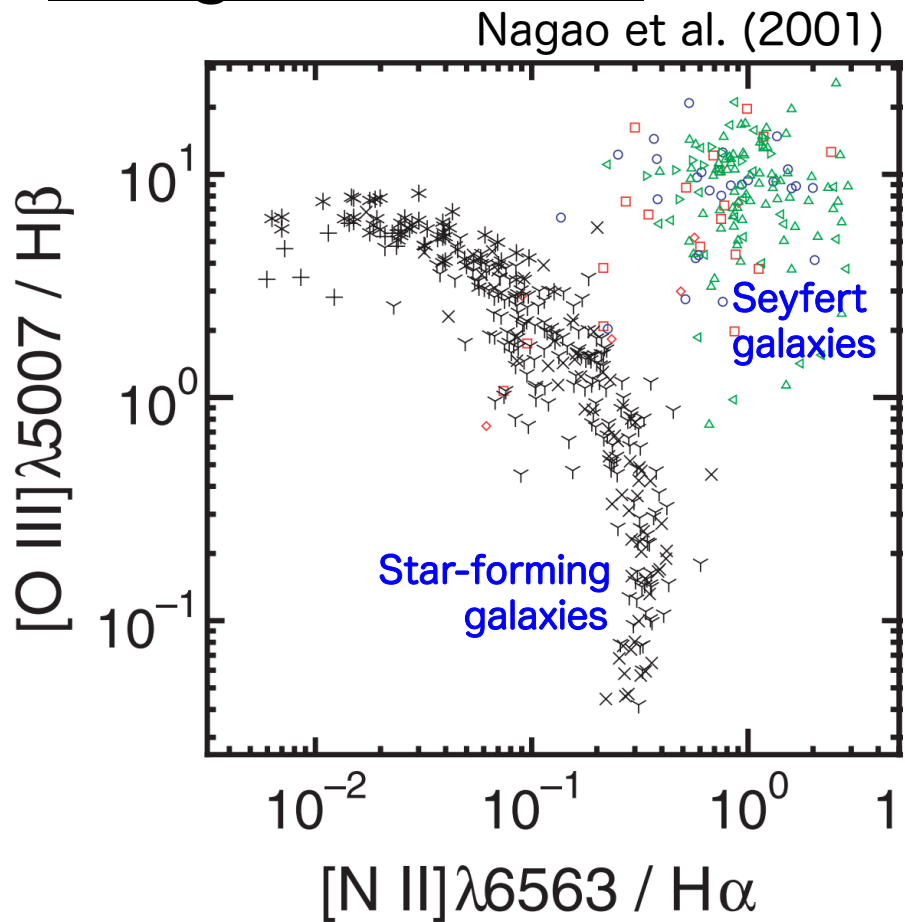
- ~ anything that requires a wide  $\lambda$ -coverage?
- ~ e.g., multi lines from narrow-line regions (NLRs)
- ~ (Nagao Ph.D. Thesis)

# NLRs in AGNs?



Composite spectrum of SDSS quasars  
(Vanden Berk et al. 2001)

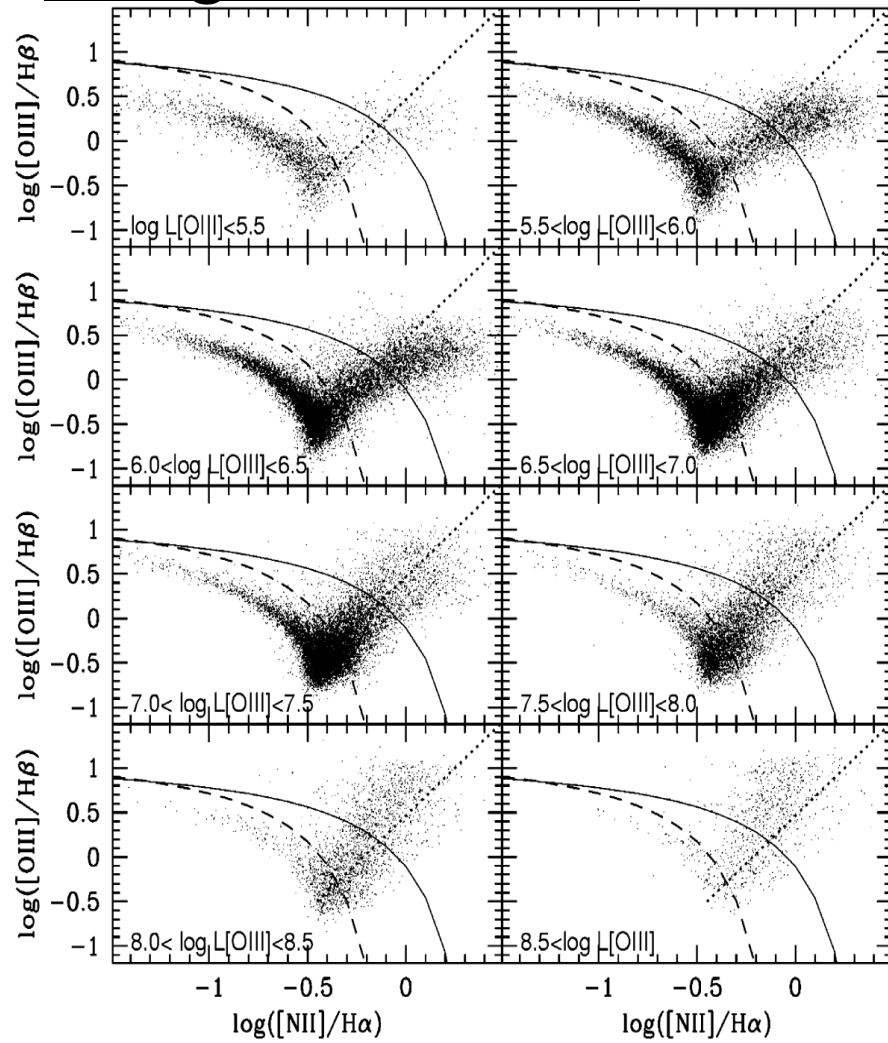
# Usage of NLRs?



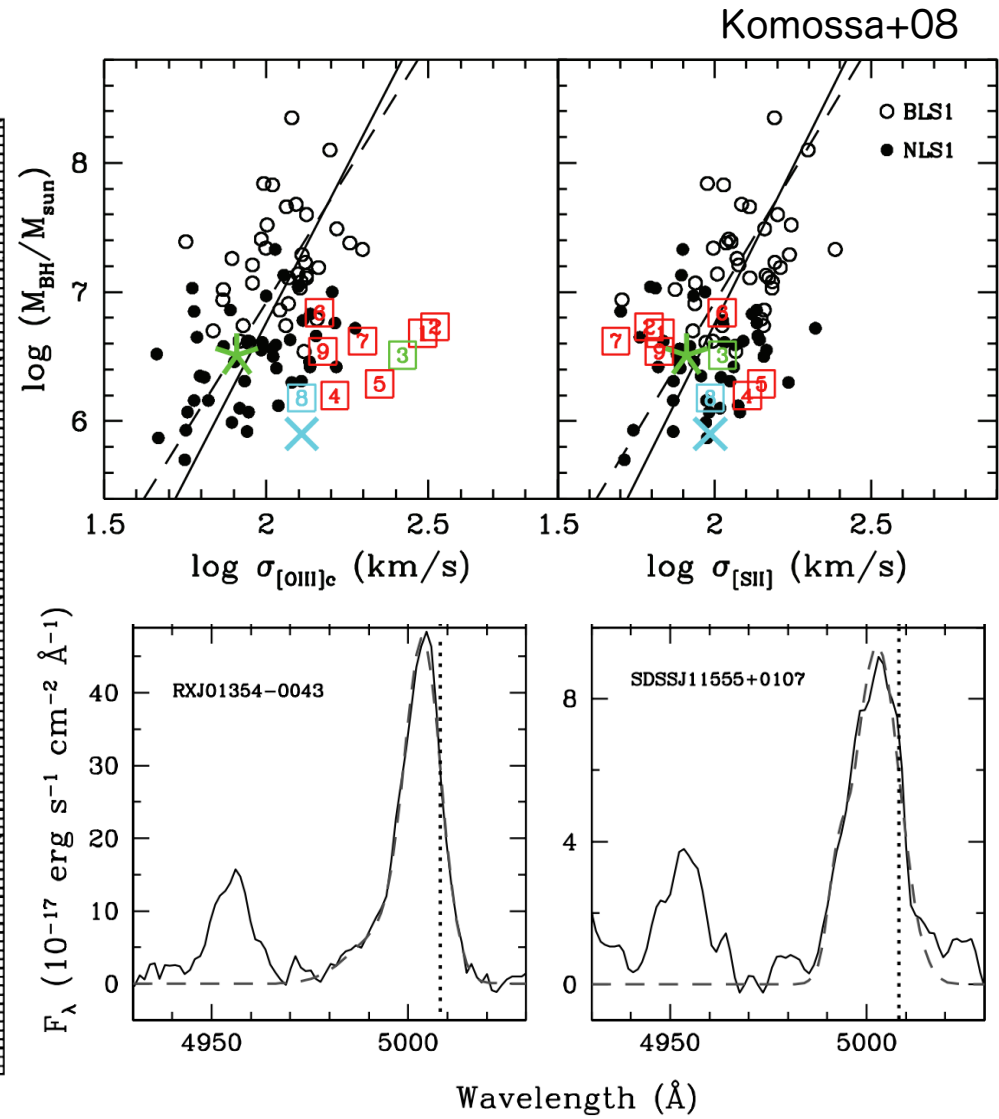
- ~ BPT diagram! (AGN vs SF)
- ~ applicable only for type-2 AGNs
- ~ anyway unimportant for type-1

- ~ metallicity diagnostics
- ~ to study chemical evolution
- ~ again, only for type-2

# Usage of NLRs? (contd.)



- ~  $L_{[OIII]}$  as a proxy of  $L_{AGN}$
- ~ again, important only for type-2



- ~ for the host vel. dispersion
- ~ assessing the AGN outflow
- ~ interesting for both type 1 & 2

## Usage of NLRs in type-1 AGNs/quasars ??

### ➤ NLR: type-1 AGNではあまり着目されてきていない

- ~ 輝線強度比診断はtype-2ではいろいろされてるが...
- ~ rest-UVのNLRは(high-z) type-2でしか観測できない
- ~ rest-optの禁制線はtype-1でも観測できるが、Balmerは不可
- ~ rest-optを見るには、high-zだと近赤外分光が必要なので大変

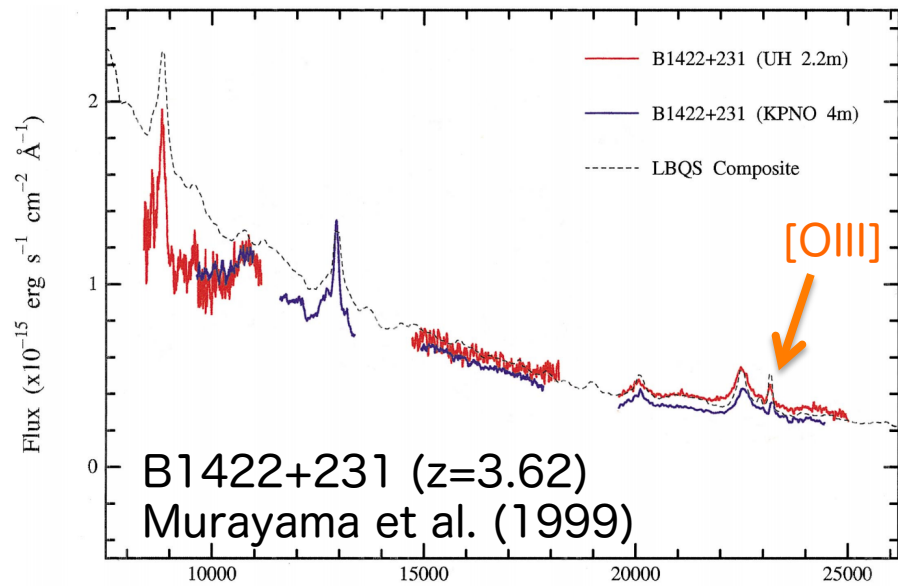
### ➤ Why type-1? Why high-z?

- ~ type-2はhigh-zで非常に少ない → 進化を調べたいならtype-1
- ~  $M_{\text{BH}}$  や  $L/L_{\text{Edd}}$  はtype-1でしか計測できない
- ~ NLRはBLRと違って母銀河スケールを見ているので  
銀河-SMBH共進化の情報を含んでるかもしれない (?)

### ➤ high-z type-1 AGN (=Quasar) のNLRってどう見えるの?

- ~ これまでの論文に載っているスペクトルを見てみましょう

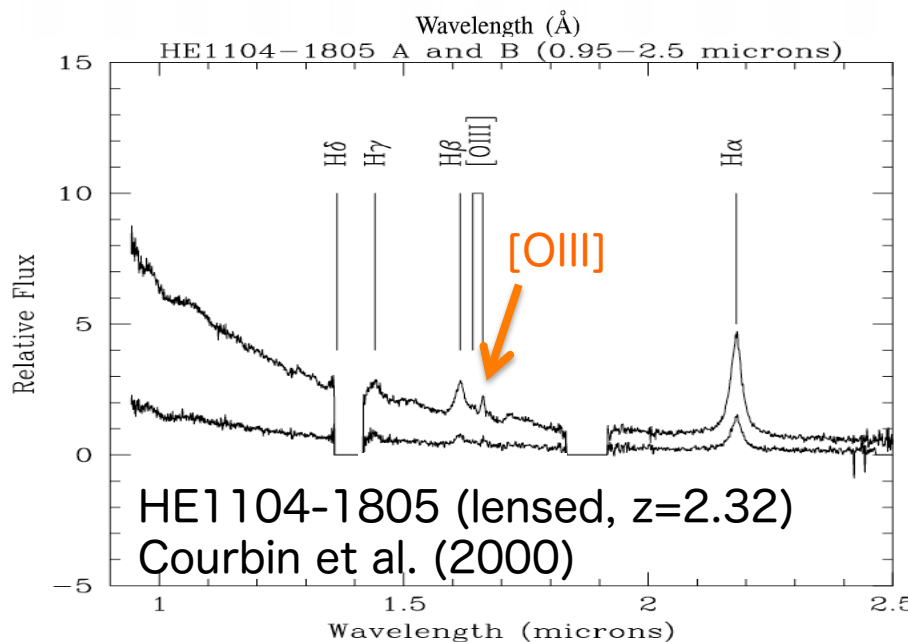
# NLRs in quasars: Past observations



$z > 2$  quasars のNIR分光観測

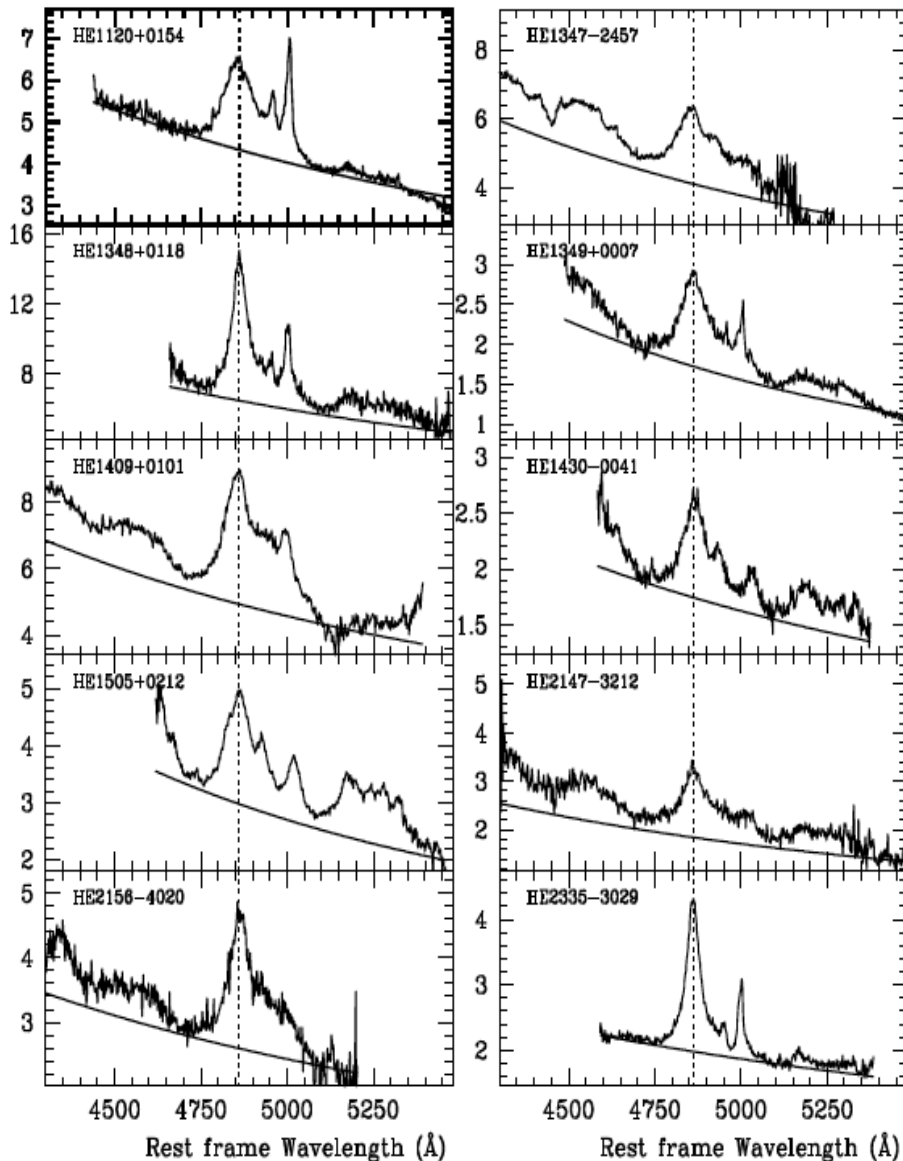
[OIII]が見える...けど弱い?  
たまたま? 天体の個性?

他の禁制線は全然見えない...  
S/Nが足りないから?



だいたいBLRを調べる観測  
(Balmer → Fe/Mg, M<sub>BH</sub>, ...)  
なのでNLRについては議論なし

## NLRs in quasars: Past observations (contd.)



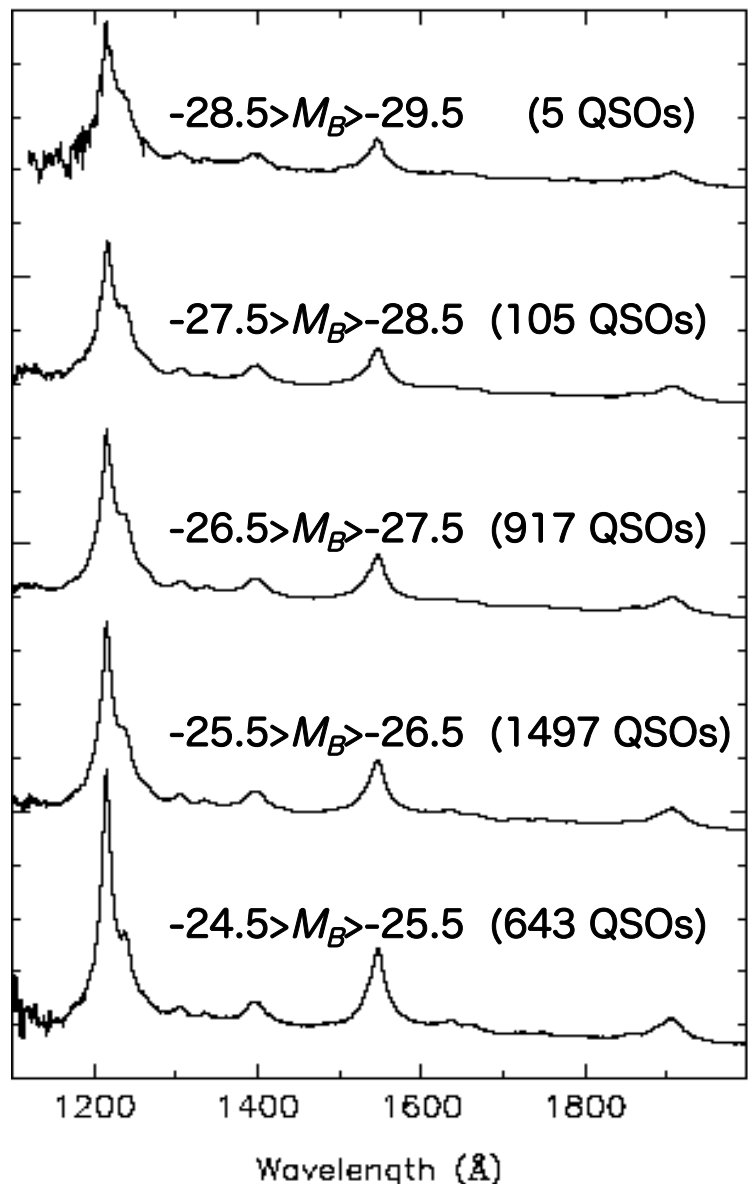
quasars at  $z = 1\text{--}3$ ; Marziani et al. (2009)

High- $z$  quasarのスペクトルを近赤外で多数観測してみると。

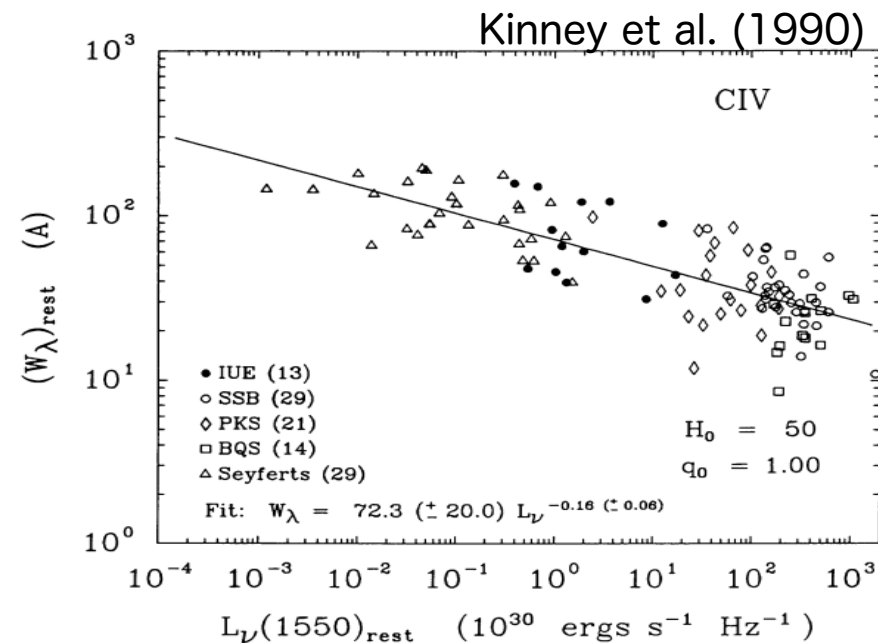
やはり [OIII] が弱い気がする。

他の禁制線は全然分からぬ。  
波長域が狭いんで当然だけど。

# The Baldwin effect



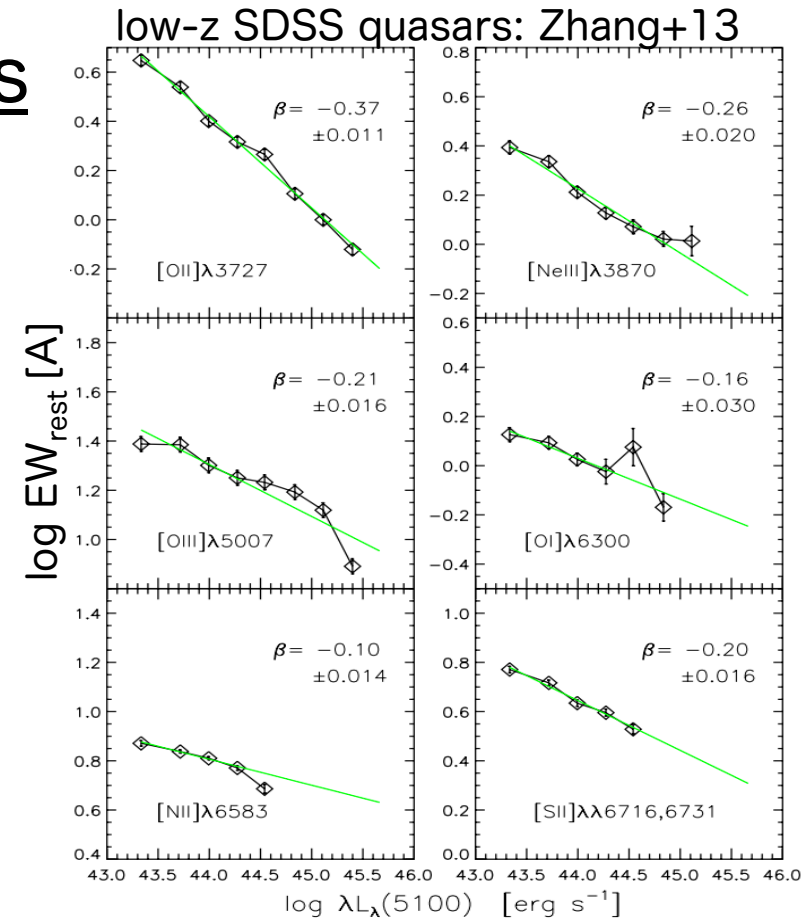
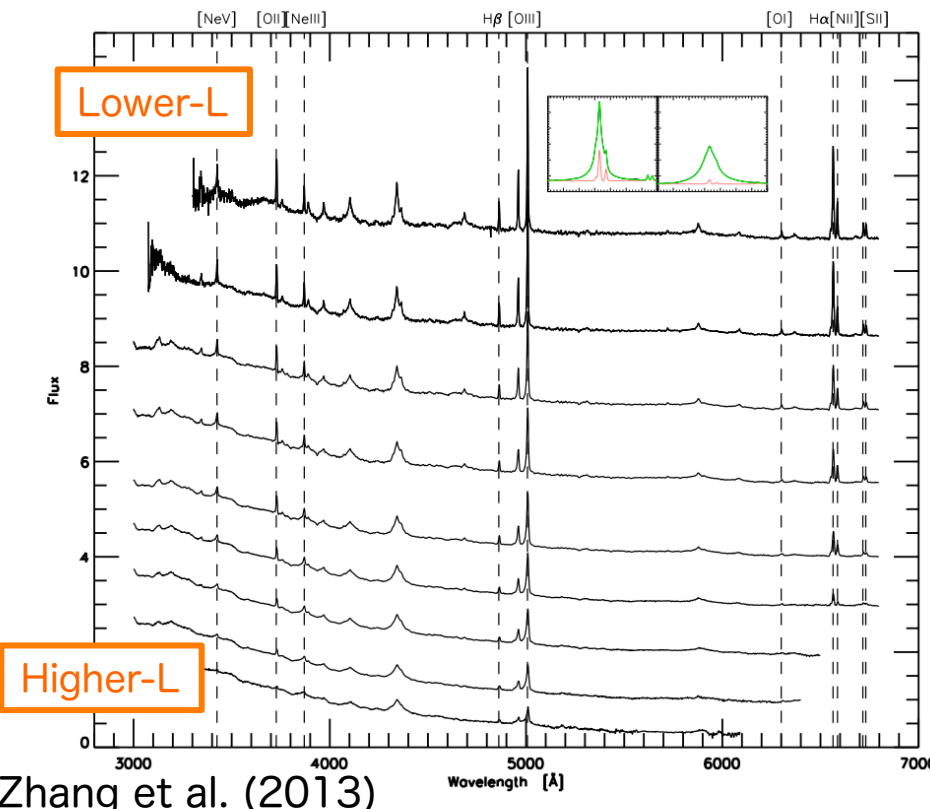
quasars at  $z=2.0-2.5$ ; Nagao et al. (2006)



## “Baldwin Effect”

BLR輝線（特に CIV）の等価幅が明るいAGNほど小さくなる傾向。セイファート銀河に比べるとクエーサーでは CIV 等価幅が1桁ほど小さい事は知られていた。ただしその物理的起源・機構はよく分かっていない。

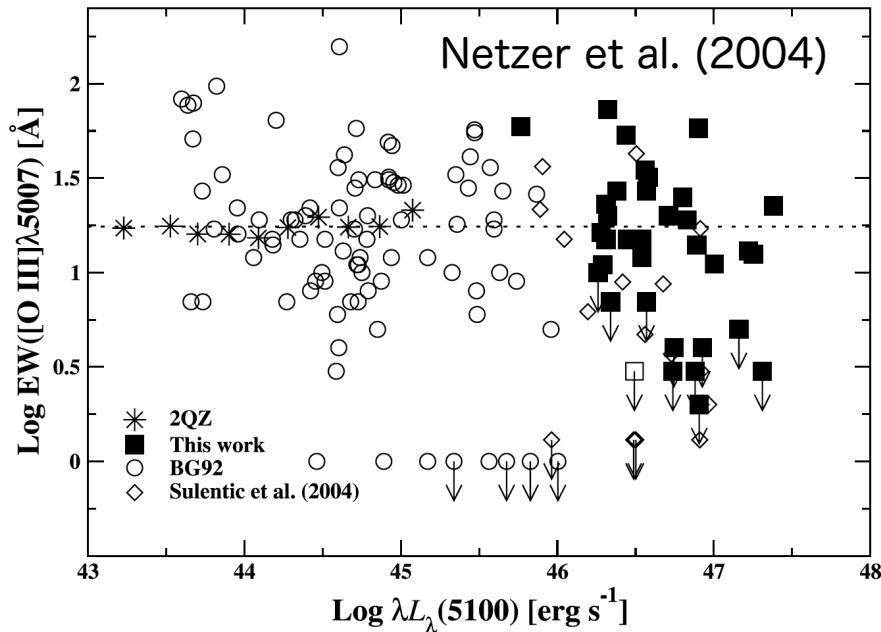
# The Baldwin effect for NLRs



SDSS DR4 4178 quasar spectra at  $z < 0.8$

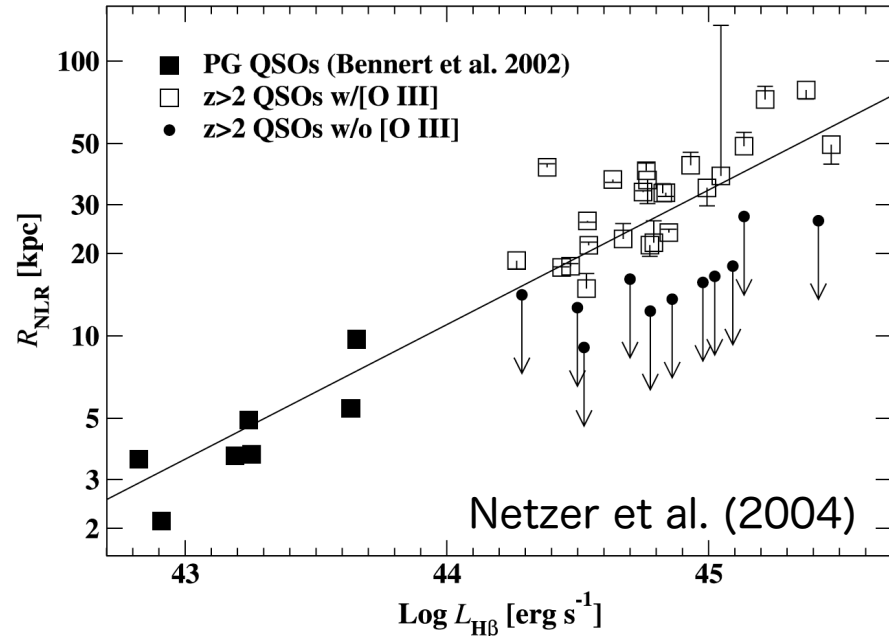
NLRからの禁制線もBaldwin効果を示す。  
物理的起源は不明だが、 BLRと同様の機構で  
NLRもhigh-Lで弱くなると推測される。  
(少なくとも low-z では。 )

# “Disappearing” NLRs in high-z luminous AGNs?



~ EW $_{[O\ III]}$  of high-z high-L quasars  
~ observed with AAT & TNG

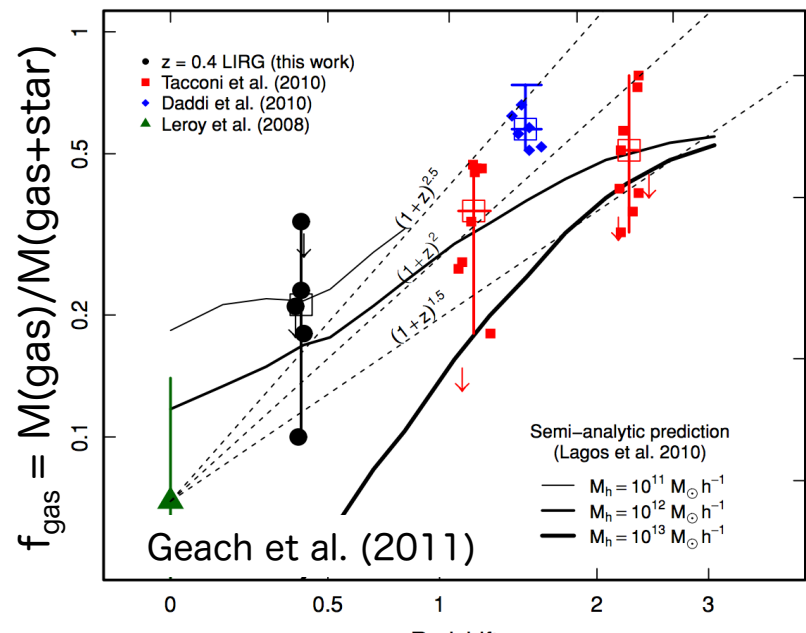
- ~ Baldwin効果って感じとは少し違う
- ~ [OIII]の強いものと弱いもの2種あり?
- ~ 強いものはlower-Lのものとほぼ同じ
- ~ 弱いものがhigh-Lだけに存在?



~ low-z では  $L_{[O\ III]}$  と NLR サイズは相関  
~ 光電離モデルからの予想と合致

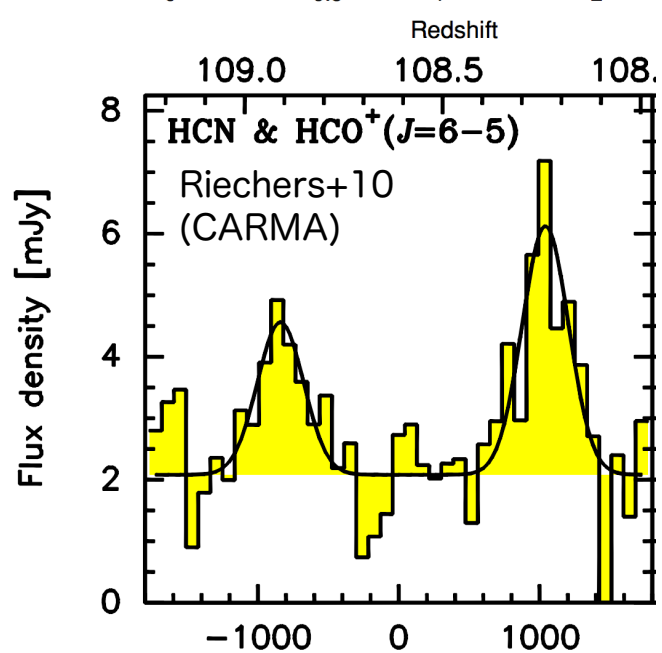
- ~ at high-z:  $L_{\text{AGN}}$  から  $R_{\text{NLR}}$  を “計算”
- ~ [OIII]が強い天体:  $R_{\text{NLR}} \sim 20-50$  kpc!?
- ~ 母銀河より大きなスケールに相当
- ~ そんな場所にガス無い → 弱い [OIII]
- ~ [OIII]が強い天体は high-z 特有の  
原因でガスが母銀河に多いのでは (?)

# More abundant gas at higher-z?

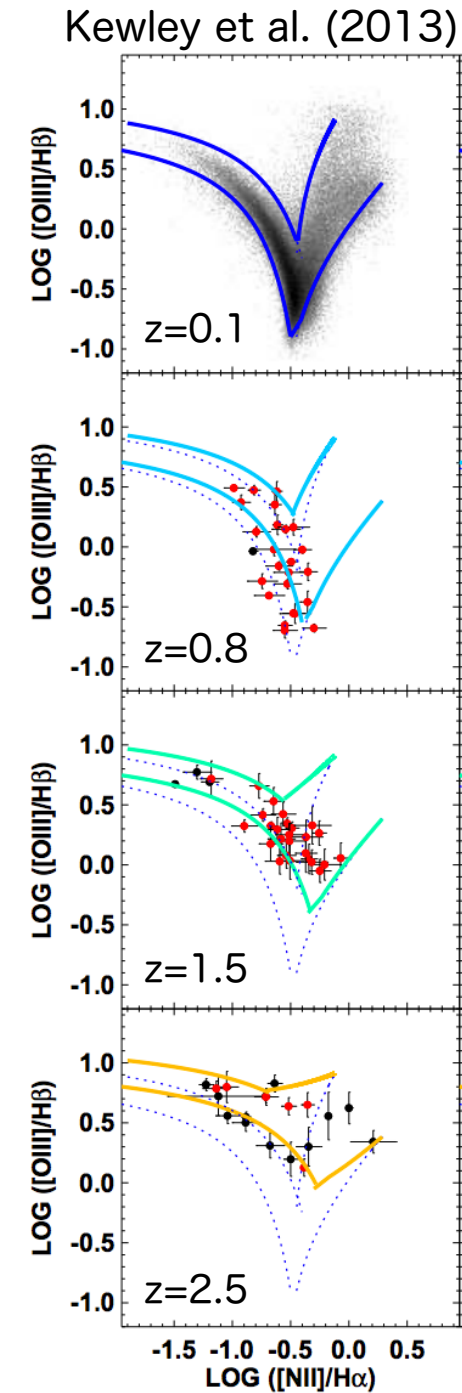


(Upper Left)  
**Higher gas fraction** at higher redshift, measured through CO

(Right)  
BPT diagram at various redshifts; higher-z data are consistent with models with **higher gas density** and harder ionizing SED



(Lower Left)  
HCN & HCO<sup>+</sup> molecular lines detected in a lensed quasar APM 0879+255 at  $z=3.91$ , suggesting the presence of **abundant dense gas clouds** in the host galaxy



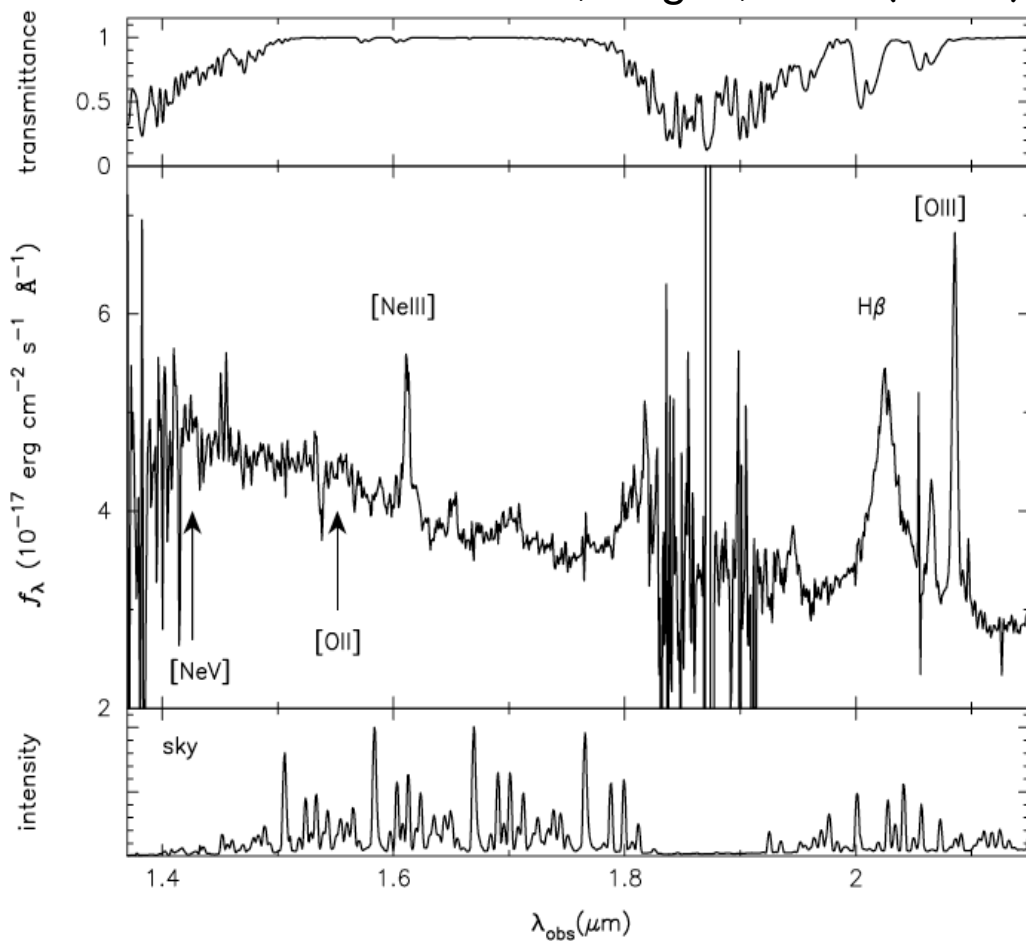
# Deep NIR spectroscopy → ??

MOIRCS HK分光 ( $R \sim 600$ ) for  
a luminous quasar at  $z \sim 3.2$

[OIII]は強く、[OII]は見えない  
(high-z quasarではありがち)

非常に強い [NeIII] ...?  
[OIII]以外の強い禁制線って  
High-z では滅多に見ないけど...

SDSS J1707+6443 ( $z=3.16$ )  
Araki, Nagao, et al. (2012)



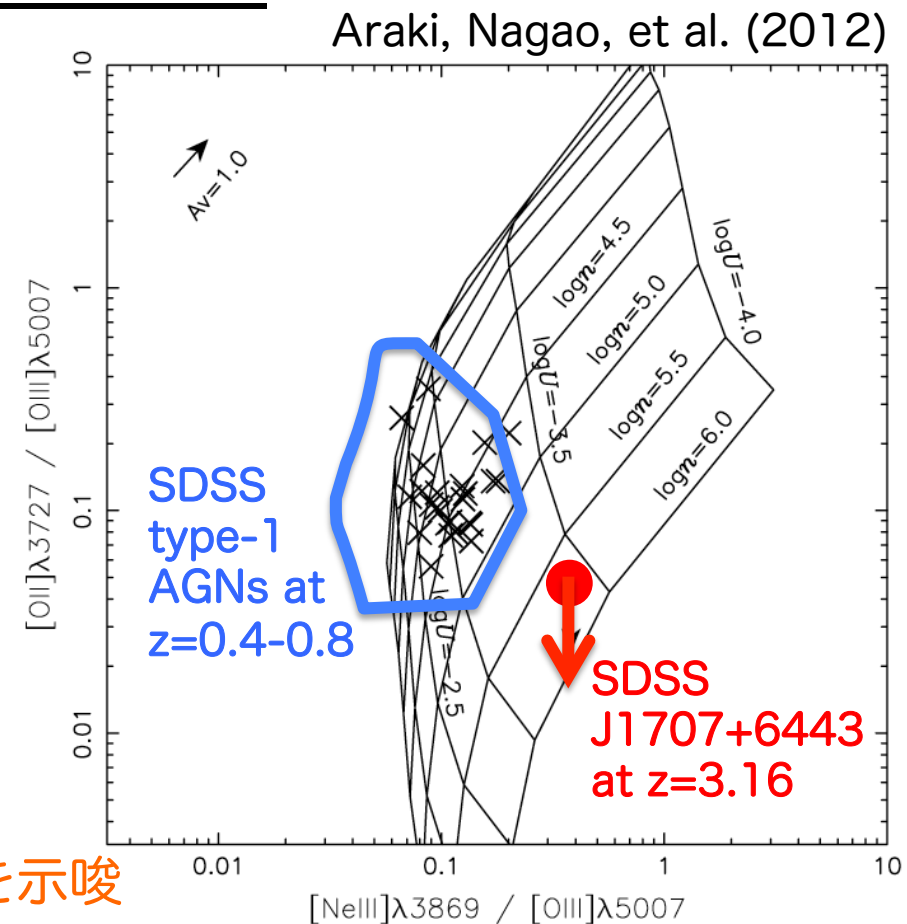
## Comparison with low-z & models

[OIII] & [NIII] の flux と  
[OIII] flux upper limit で輝線診断図

low-zとは明らかに輝線強度比が違う  
(光度も 1 dex ほど違うけど...)

光電離モデル (Cloudy) と比較すると  
どうもNLRが higher density (>1 dex)  
で特徴付けられる模様

密度と電離パラメータと  $L_{AGN}$  から、  
このNLRの典型的サイズを推定可能  
→ ~kpc scaleでの高密度ガスの存在を示唆



High-zのquasar母銀河における大量の高密度ガス (cf. Netzer+04)  
高い  $f_{gas}$  と激しい星形成などでこのような状況が実現？ほんと??  
こうした NLR は high-z (特に [OIII] が強いAGN) ではよく見られるのだろうか??

# Next Step → SWIMS/TAO !!

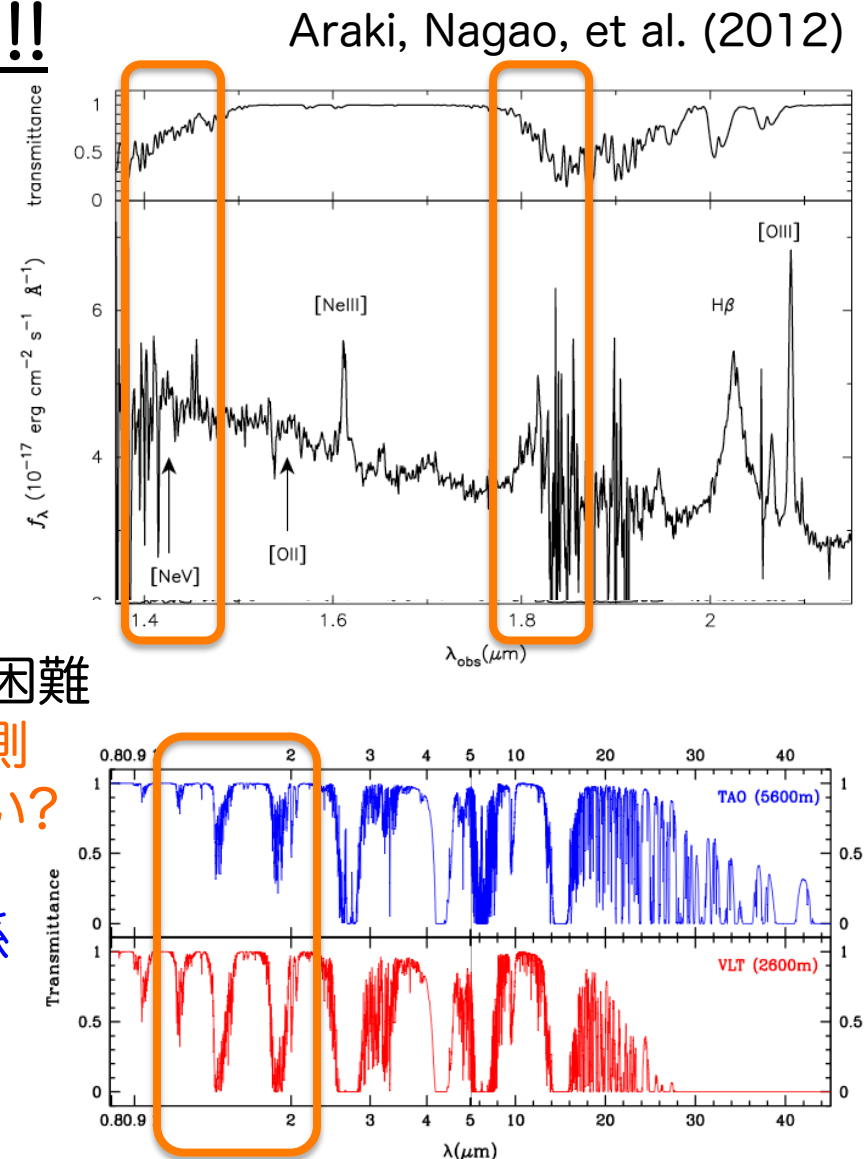
“kpc scaleで高密度なガス”でOK !?  
→ 各種パラメータの縮退を解くには  
他の輝線も観測する必要あり

特に [NeV]3426, [OIII]4363  
~ [NeV]3426/[Nelll]3869 → 電離度  
~ [OIII]4363/[OIII]5007 → 密度  
(see Nagao et al. 2001)

これら全て観測するのは大気吸収のため困難  
~ SWIMS/TAOで大気吸収を避けた観測  
~ IFUは有用? AOがないと分解は厳しい?

高密度ガスとSFR,  $M_{\text{BH}}$ ,  $L/L_{\text{Edd}}$  等の関係  
ALMAによる分子輝線観測との連携も

- ※ [NeV]は当面諦めて、まずは[OIII]4363を  
他天体も含め捉えるための観測をMOIRCSで  
進めていく予定 (S13B-009, 12月, 1 night)
- ※ target mag: typically  $K_{\text{AB}} \sim 18$



大気透過率の比較: TAO vs VLT  
(TAOウェブページより)

# Summary

- TAO/SWIMSによる大気吸収の少ない広帯域NIR分光はAGN研究に有用
  - ~ HSC-selected  $z=6-7$  quasars の分光同定,  $M_{\text{BH}}$ 測定など
  - ~ FeII/MgII などによる化学組成研究 ( $\rightarrow$ 鮫島さんtalk)
  - ~ 複数の禁制線の強度測定による輝線診断でhigh-z NLRの物理状態研究
- High-z high-L quasar では NLR 輝線の弱い天体が散見される
  - ~ NLR Baldwin effect ?
  - ~ というよりは、弱[OIII]/強[OIII] の 2 population あるという話も
  - ~ 強[OIII]  $\rightarrow$  母銀河に大量の dense gas が存在 ?
- 広帯域近赤外分光観測で複数の禁制線  $\rightarrow$  NLR輝線診断
  - ~ [OII]3727, [NeIII]3869, [OIII]5007 から dense gas の存在が示唆?
  - ~ [NeV]3426, [OIII]4363 も加えてきちんと診断をしていくべき
  - ~ バンド間吸収が小さい TAO で SWIMS の広帯域分光が活躍しそう
  - ~ 母銀河に abundant dense gas? 共進化との関係??
  - ~ ALMAとのシナジー (共に南半球!!)

